大容量電力用コンデンサ

Large Power Capacitors

斎藤亮二*山中敬二*
Ryoji Saitō Keiji Yamanaka

内 容 梗 概

近時変電所設備費の節減を計るため単器容量の大形化が望まれる気運にある。大容量コンデンサの製作にあたり第一に問題となる点は温度上昇である。今回 $1,200\,\mathrm{kVA}$ コンデンサを製作し試験を行った結果, $1,400\sim1,500\,\mathrm{kVA}$ コンデンサの製作が可能であることがわかった。また保守に便ならしめるためコンデンサの外箱最高温度上昇値と内部最高温度上昇値との関係を示した。

1. 緒 言

変電所の床面積を縮少し設備費の節減を計るために最近の進相用コンデンサは大容量変電所用のみならず中小容量変電設備においても単器容量の大形化が望まれている。

大容量コンデンサの製作にあたって最も重要な問題は 温度上昇である。電気標準規格 JEC-61 によれば、コン デンサの温度は外箱の温度上昇値のみが規定されていて 内部素子の温度は構造上測定困難のため規定されていな い。しかしコンデンサの寿命を左右するものは内部の最 高温度であって外箱の温度ではないから, われわれ製作 者は絶えずこの点に留意して温度上昇の低減に努力を続 けている。さきに 417 kVA コンデンサの内部温度分布 について発表したが⁽¹⁾, その後の絶縁材料の特性向上と 絶縁処理技術の進歩による誘電損失の著しい低減と,冷 却構造の合理化による温度上昇の低下により大容量コン デンサの製作が可能となり, さきに 720 kVA コンデンサ により温度上昇値を検討したが、さらに今回 1,200 kVA コンデンサを製作して内部温度分布を詳細に検討した。 その結果冷却構造は現状のままでも 1,400 ~ 1,500 kVA 程度のコンデンサの製作が可能であり、しかもこれらは 著しい利点をもつことが確められたのでこれを記して御 参考に供する次第である。

2. 大形コンデンサの利点

電気標準規格 JEC-61 が制定された 1942 年ころまではコンデンサの単器容量はせいぜい 300 kVA 止りであったが、その後単器容量は年々大きくなる傾向にある。単器容量が大きくなると次のような利点がある。

(1) 据付面積が小さくなり設備価格が低廉となる

10,000 kVA 群を 417 kVA 単相コンデンサ 24 台で 構成する場合と 834 kVA コンデンサ 12 台で構成する 場合の配置図を 第1 図 と 第2 図 に示す。図より明ら かなように単器容量が大きくなると設備面積ならびに

* 日立製作所国分工場

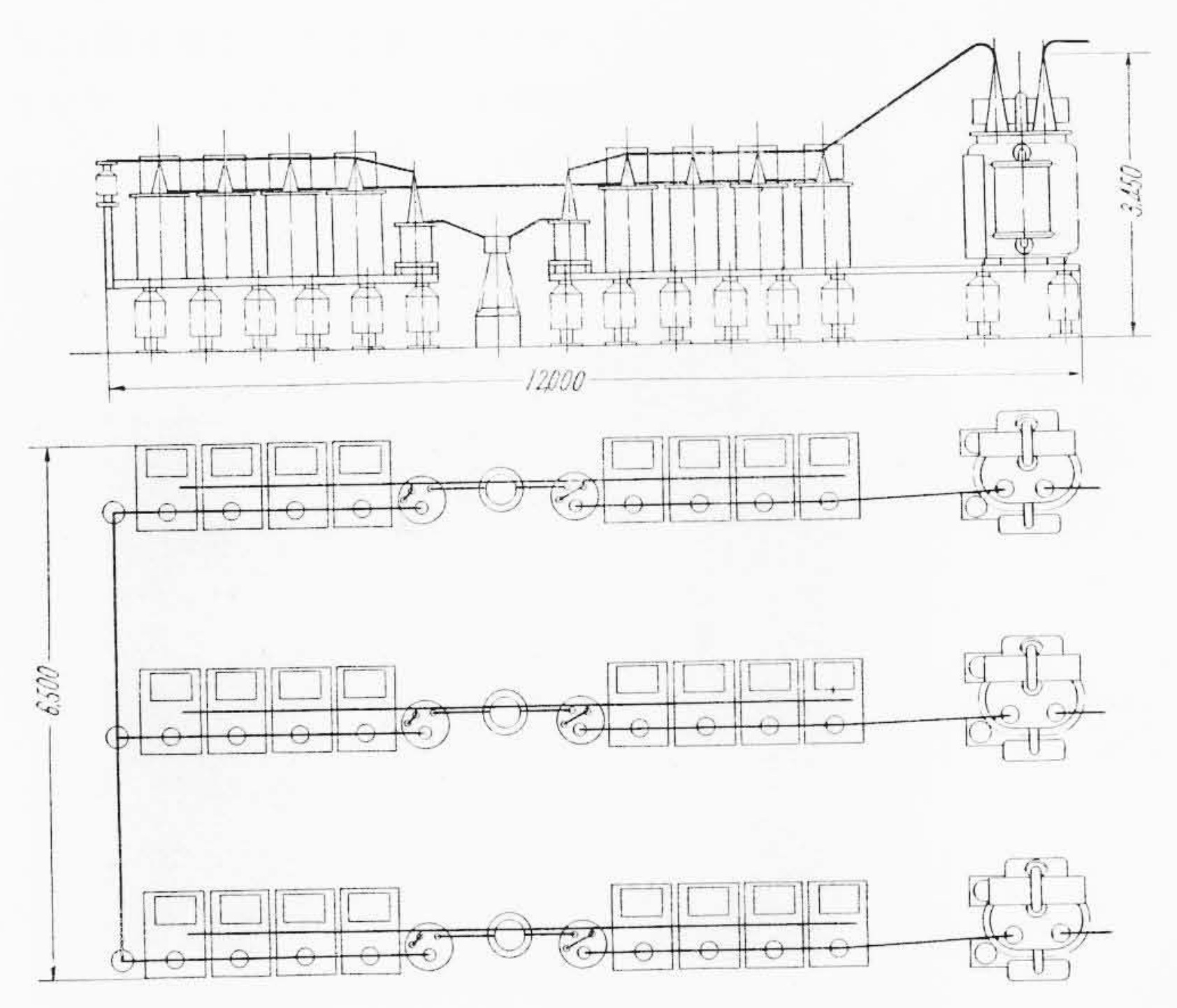
機器の製作費用が大幅に減少する。さらに大容量変電所の例として 66kV $50\sim 30,000 kVA$ コンデンサ群について比較すると第1表のようになる。また中容量変電所の例として 3.3kV $50\sim 2,000 kVA$ コンデンサ群について示すと第2表のようになり、いずれの場合も大容量器の採用が経済的に有利であることがわかる。

(2) 保護が容易になる

一般に星形接続のコンデンサ群では、中身の一素子が絶縁破壊した場合の事故検出法として電圧差動継電方式が採用されている。この場合検出感度は各相コンデンサの直並列台数と各コンデンサの直列素子数によって左右される。一例として第1,2図に示した10,000 kVA コンデンサ群について事故時継電器端子に現われる電圧を計算すると後者は前者の186%となる。すなわち大容量器を使用し各相の並列台数を減少することが検出感度を上げるのにきわめて有効である。

3. コンデンサの温度上昇

コンデンサの温度上昇は電気標準規格 JEC-61 によれ ば外箱最高温度部において 25°C 以下と規定され、内部 素子の温度上昇については規定されていない。これはほ かの電気機器と異なり構造上測定が困難なこと, および 規格制定当時最大単器容量と考えられていた 300 kVA コンデンサについて各社製品の温度上昇値が 25℃ 以下 であったことから判断してこの程度が妥当であろうと考 えられたためである。しかし実際コンデンサの使用上問 題となるのは外箱の温度ではなく誘電体内の最高温度で あって, これが高すぎるとコンデンサの寿命を著しく短 くする。単器容量が大きくなると発熱量の増大に比して 冷却面積の増加の割合が小さいので温度上昇値が高くな ることは避けられない。しかし規格制定当時に比べ最近 は絶縁材料の特性向上と絶縁処理技術の進歩により誘電 体損失が大幅に減少した。第3図は最近数年間における コンデンサ損失減少の傾向を示す。すなわち従来の標準 紙を使用したコンデンサに比べ低密度高気密度紙を使用 した現在のコンデンサは著しく改善されていることがわ

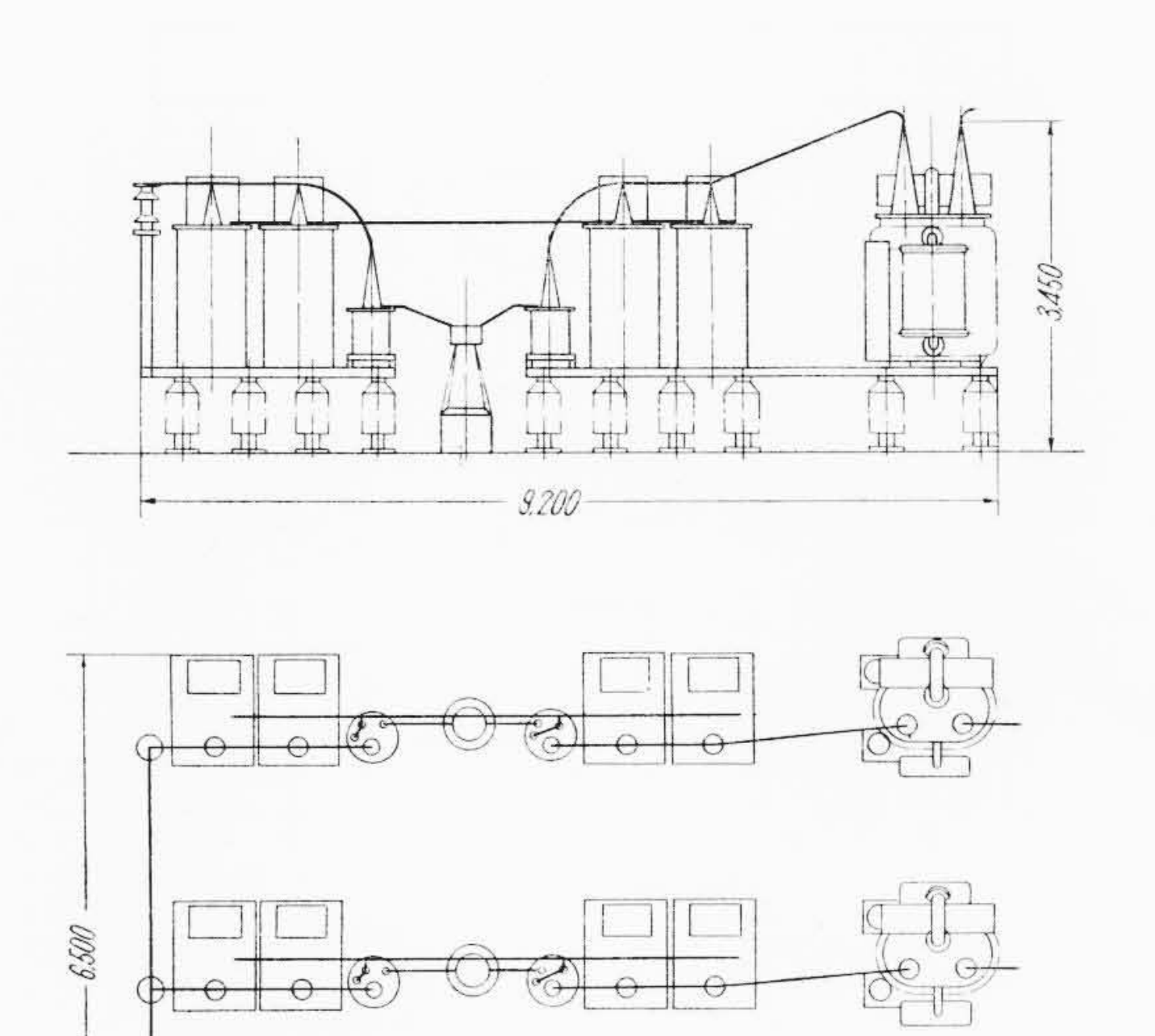


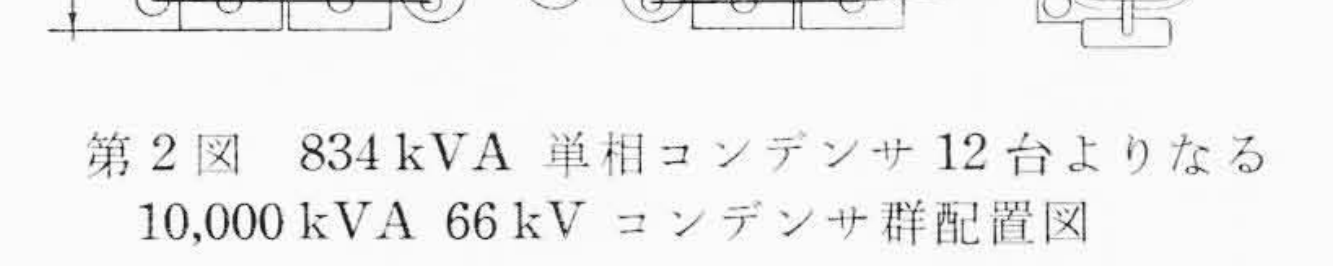
第1図 417 kVA 単相コンデンサ 24 台よりなる 10,000 kVA 66 kV コンデンサ群配置図

第2表 2,000 kVA 群における比較

構	成	コンデンサ 価格	コンデンサ 据 付 面 積
$250~\mathrm{kVA}~ imes$	8台	100	100
$1,000\mathrm{kVA}~ imes$	2台	75	60

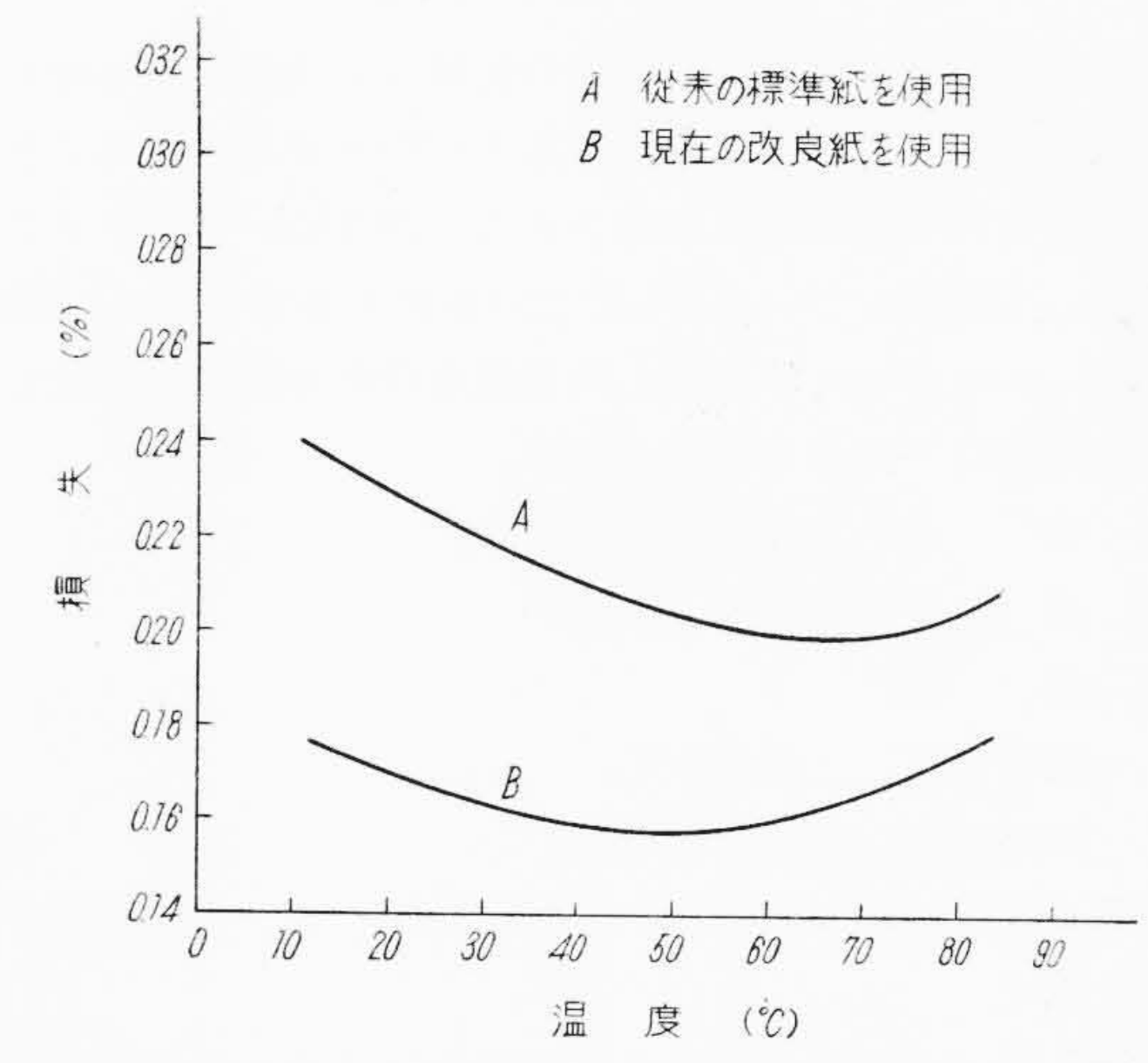
かる。第4図は絶縁破壊電圧―時間特性の向上を示す。さらに効果的な冷却構造および絶縁構造を採用して内部温度分布の著しい不均一をなくすることにより最高温度をいっそう低下させることができた。これらの総合結果として大容量コンデンサの製作が可能となってきた。なお参考までに最近の日立電力用コンデンサの絶縁抵抗値を示すと第5図のとおりである。



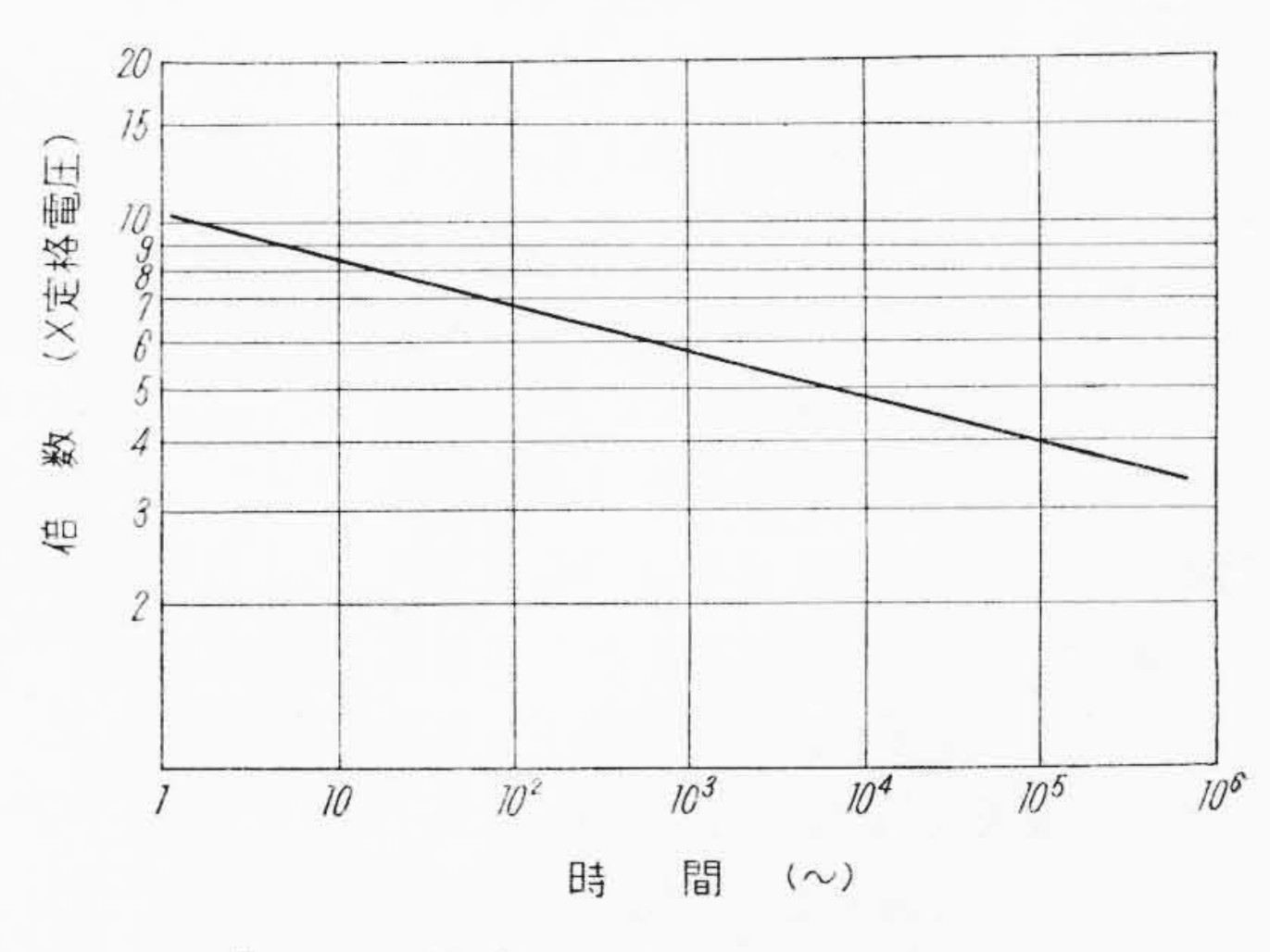


第1表 30,000 kVA 群における比較

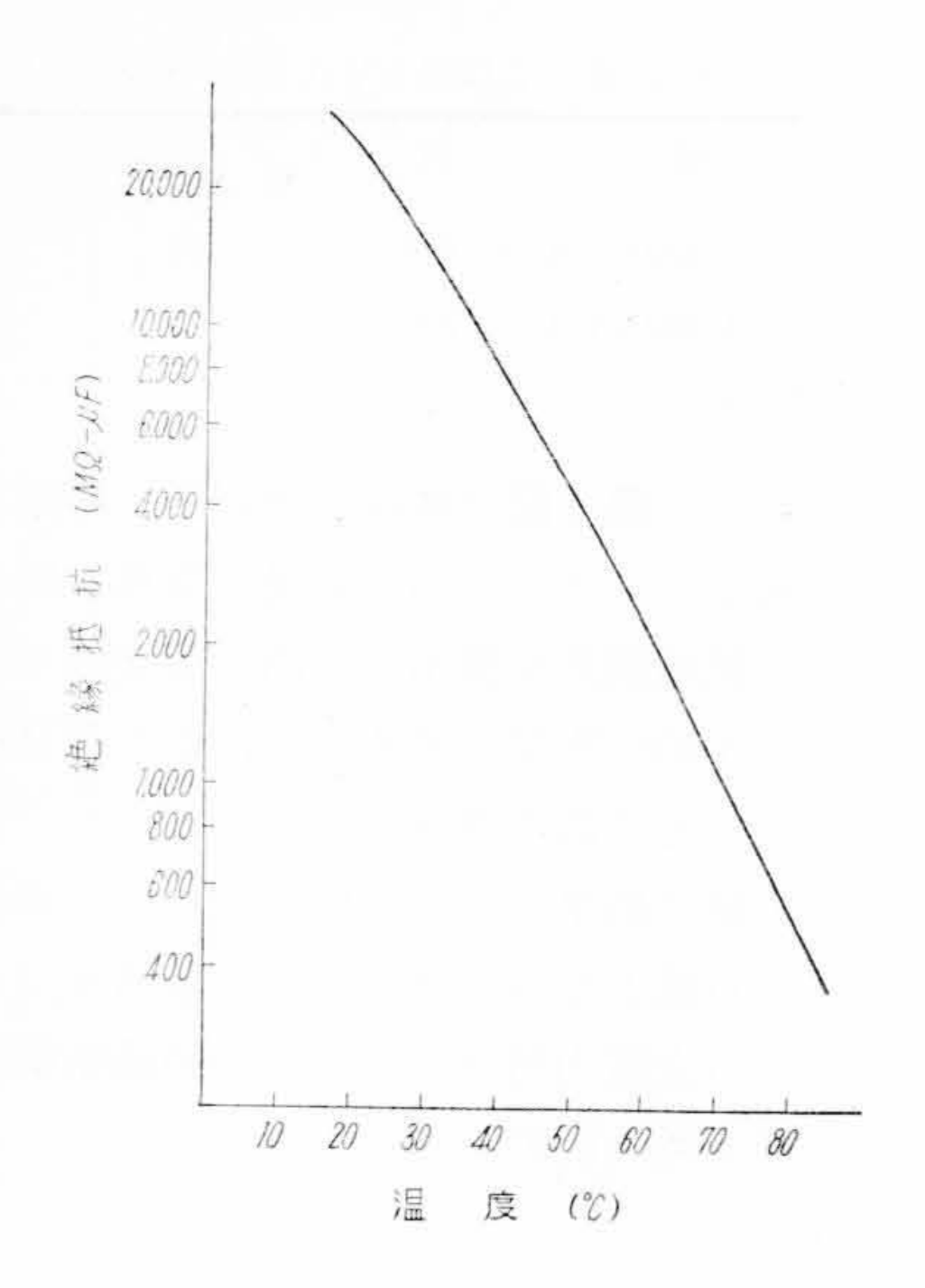
構成	コンデンサ価格	コンデンサ据付面積
417 kVA $ imes$ 72 台	100	100
$625\mathrm{kVA} imes48$ 台	90	80
1,000 kVA × 30 台	82	65



第3図 コンデンサの損失温度特性曲線



第4図 絶縁破壊電圧時間特性



第5図 コンデンサの絶縁抵抗温度特性曲線

4. 温度上昇試験

大容量器の温度上昇は損失の低減および合理的な冷却構造の採用により十分余裕のあるものとすることができるが、これを確認するためさきに 720 kVA コンデンサについて試験を行い、さらにこの結果を参考として1,200 kVA コンデンサを製作し内部温度分布を詳細に検討した。仕様は下記のとおりである。

容 量 1,200 kVA

周波数 60~

相 数 3

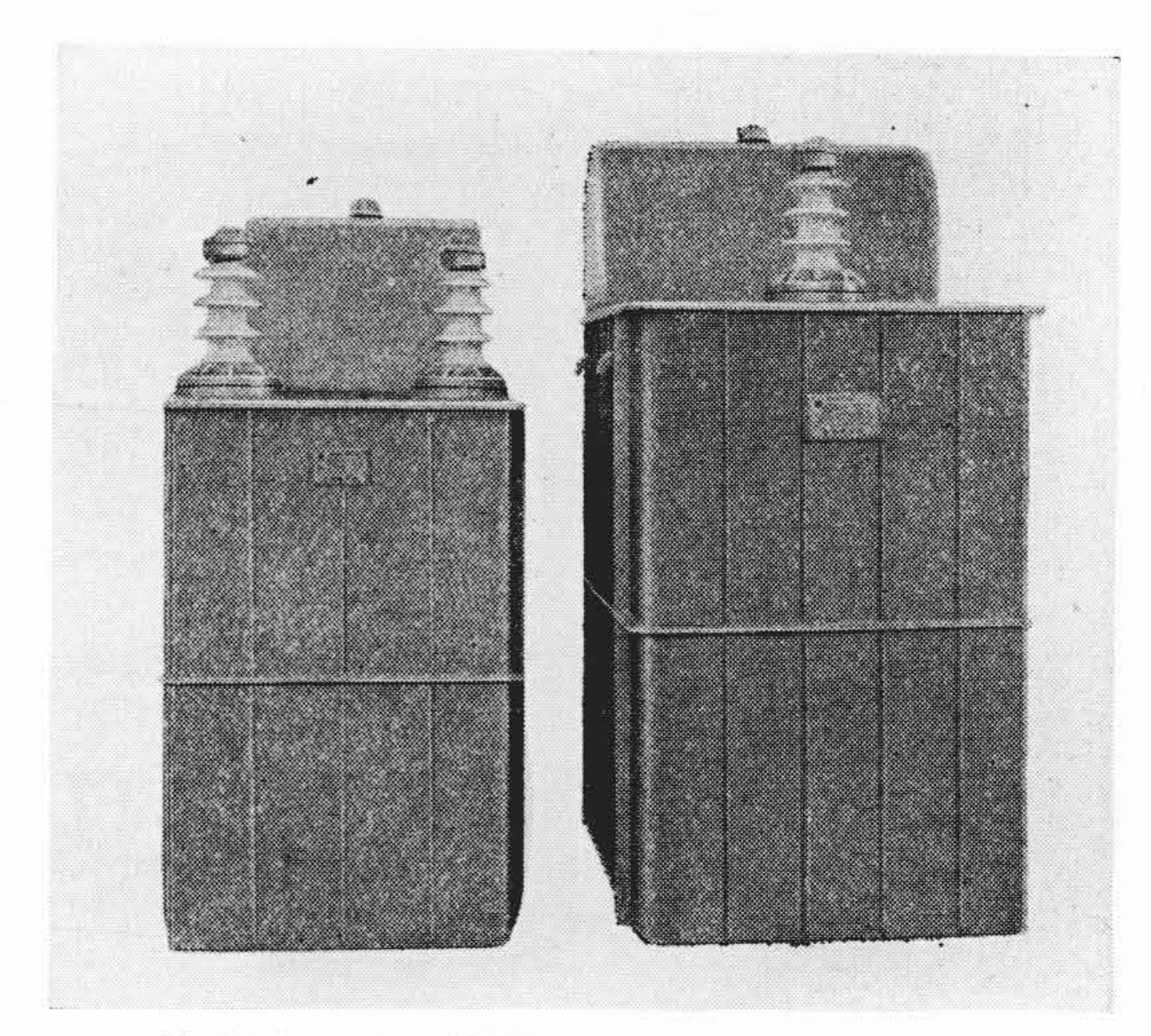
定格電圧 19,000 V

回路電圧 66,000 V

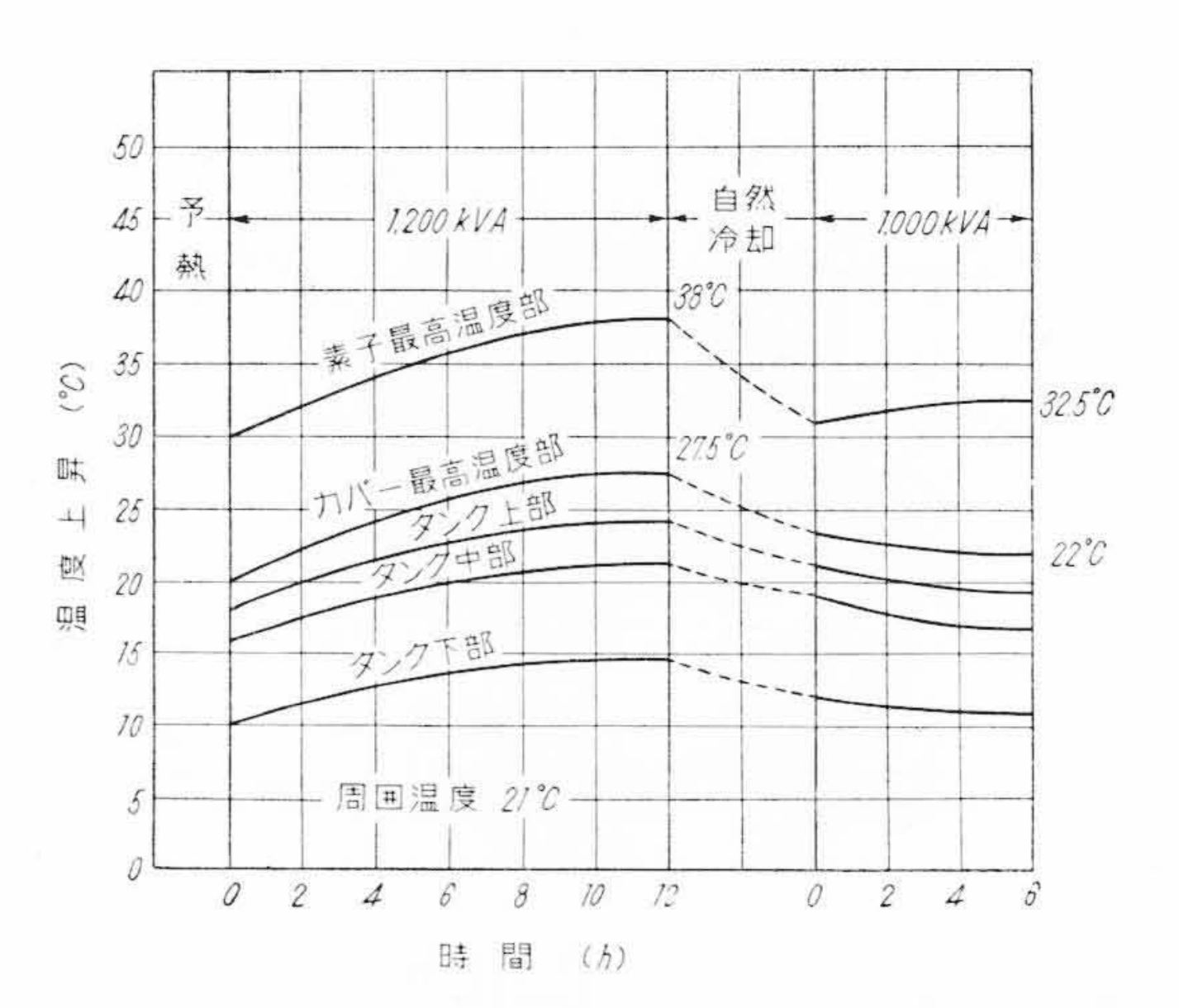
第6図は 720 kVA および 1,200 kVA コンデンサの外 観を示す。

第7図は 1,200 kVA コンデンサの温度上昇曲線であって本器のように大容量器の温度上昇試験に際してはコ

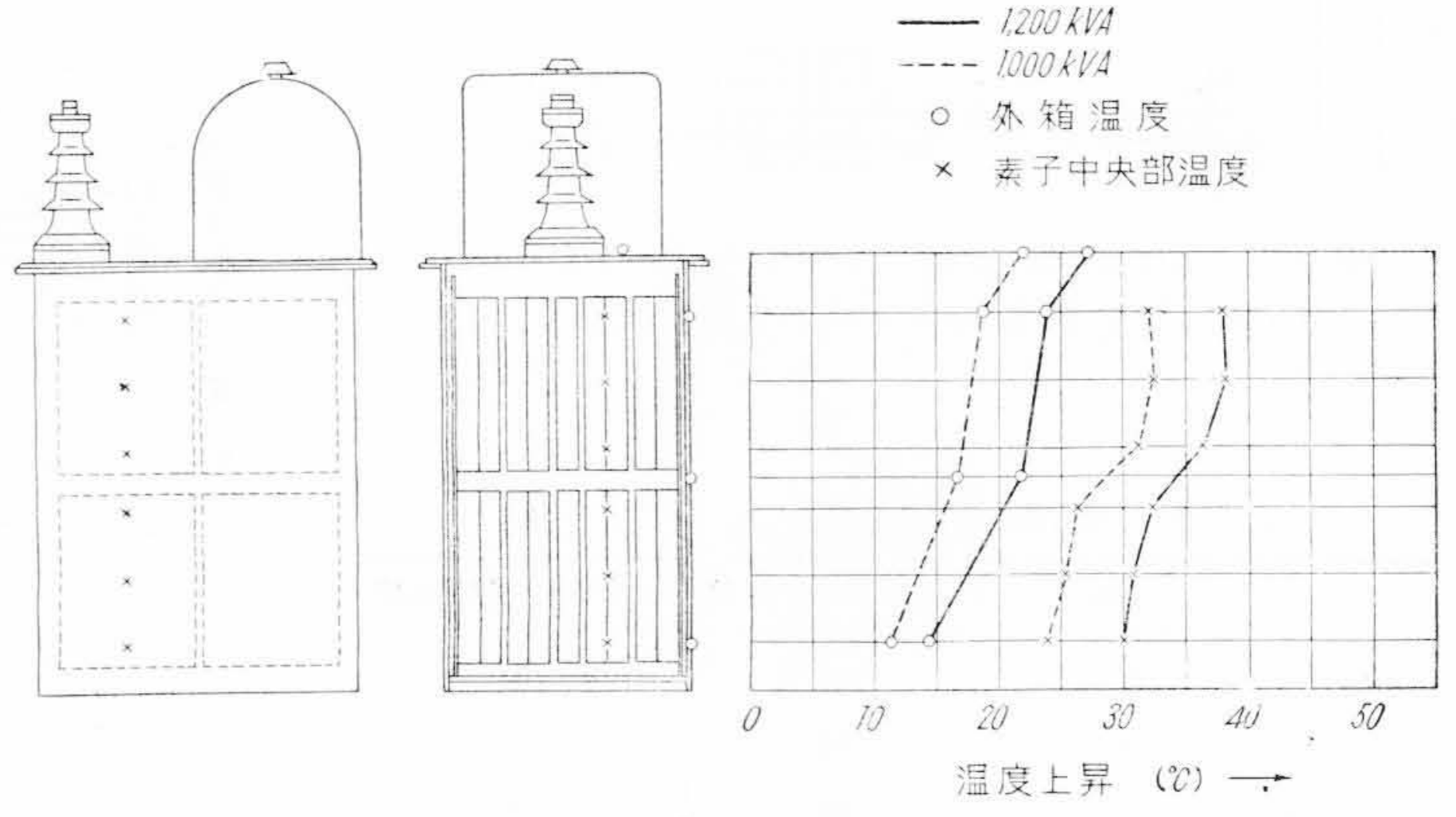
ンデンサの熱容量が大きいため内部が一 定温度となるには長時間を要するので, 試験の際は初め恒温槽で予熱したのち定 格電圧を加えて温度を測定した。この結 果は内部最高温度上昇値は 38°C であり, また外箱最高温度上昇値は 27.5°C であった。また本器は50~の場合 1,000kVA に使用できるので,この場合の温度上昇 値を確めるため一時加電を中止して自然 冷却を行い,予想値付近まで降下した時 ふたたび電圧を印加して温度を測定し た。この結果最高温度上昇値は 32.5°Cで あり外箱最高温度上昇値は 22°C であっ た。この場合コンデンサ内部の温度分布は第8図に示すとおりである。なお参考までに720kVA コンデンサ



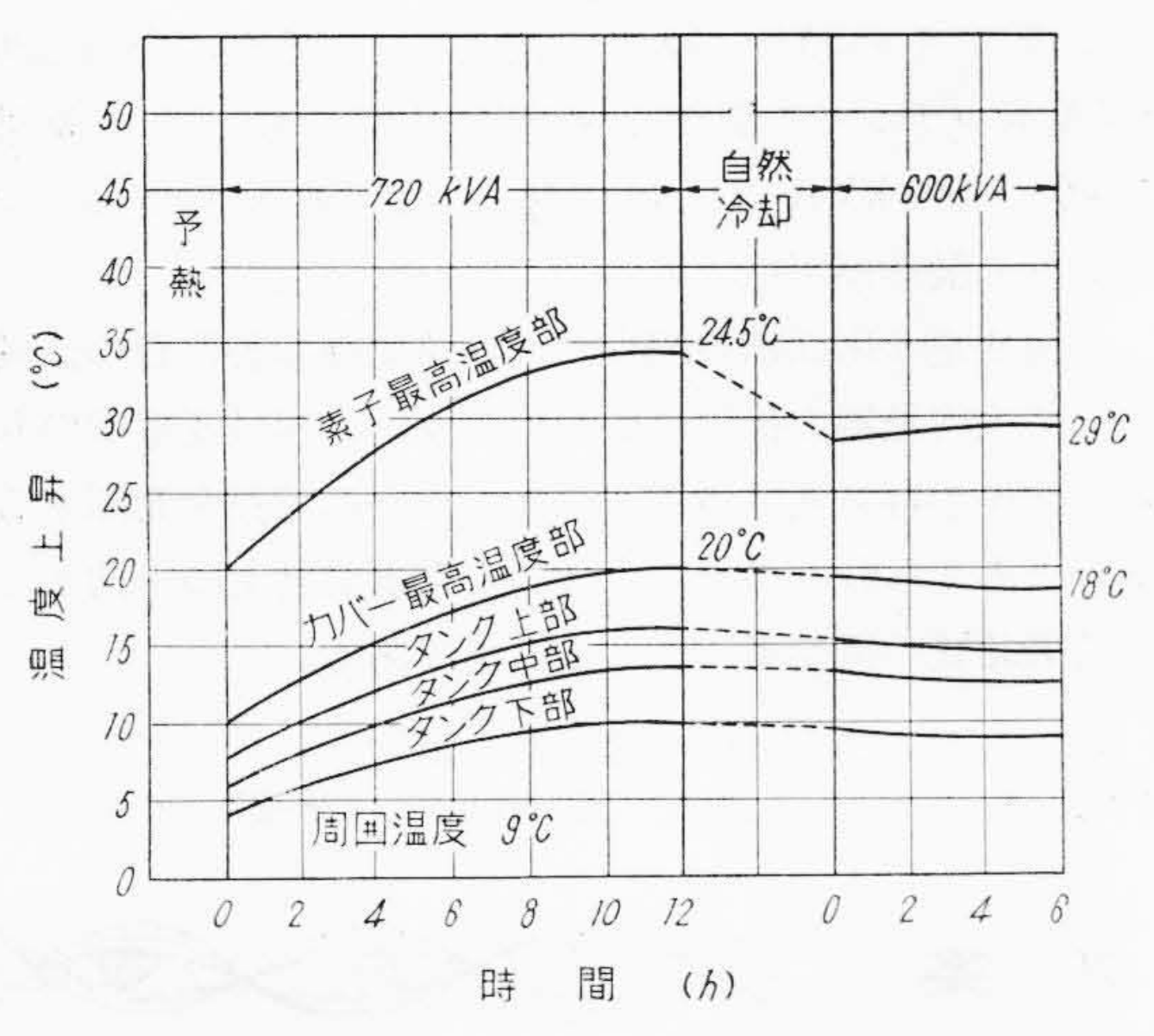
第6図 720 kVA コンデンサ (左) 1,200 kVA コンデンサ (右)



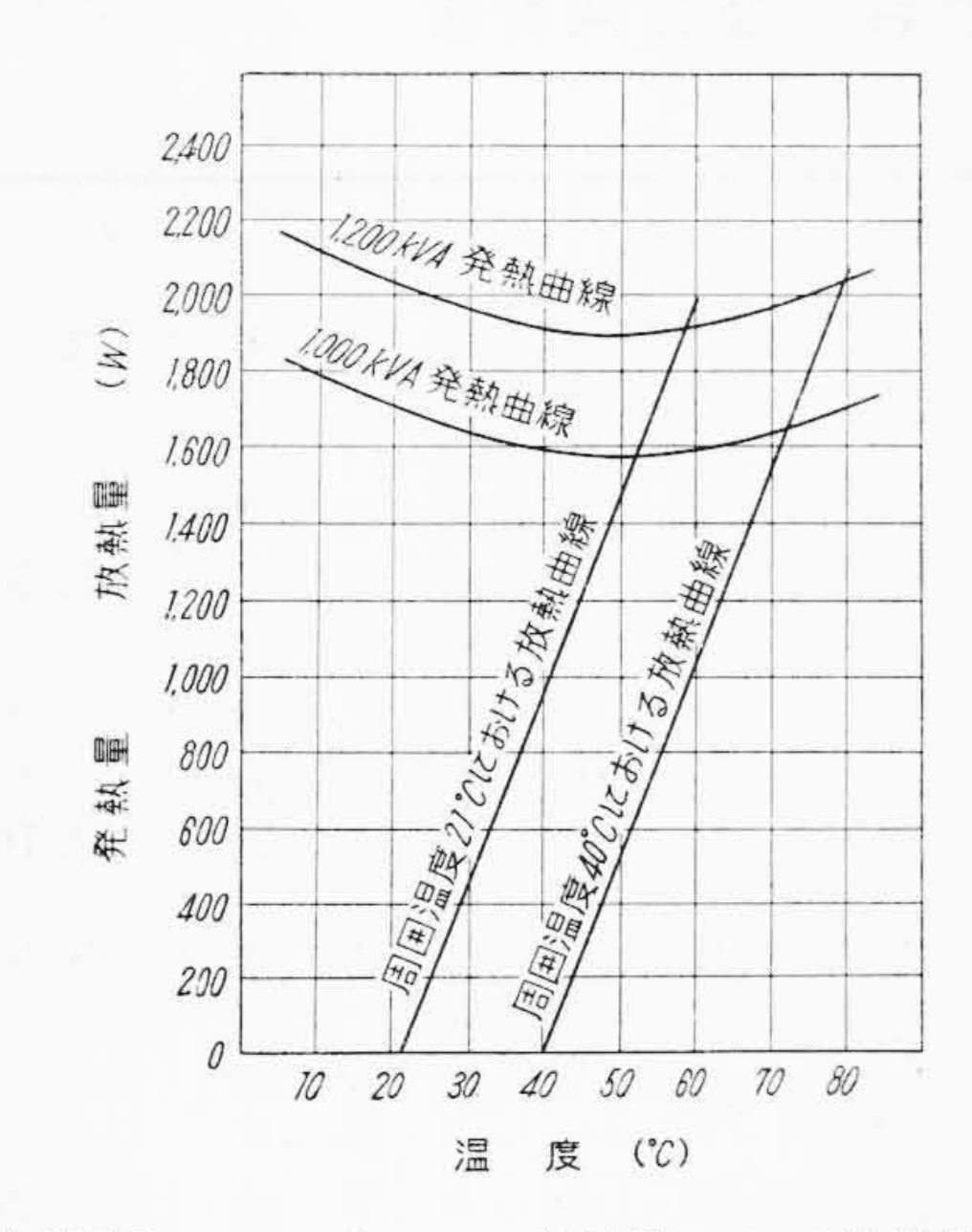
第7図 コンデンサの温度上昇曲線



第8図 1,200 kVA コンデンサの温度分布 (周囲温度 21°C)



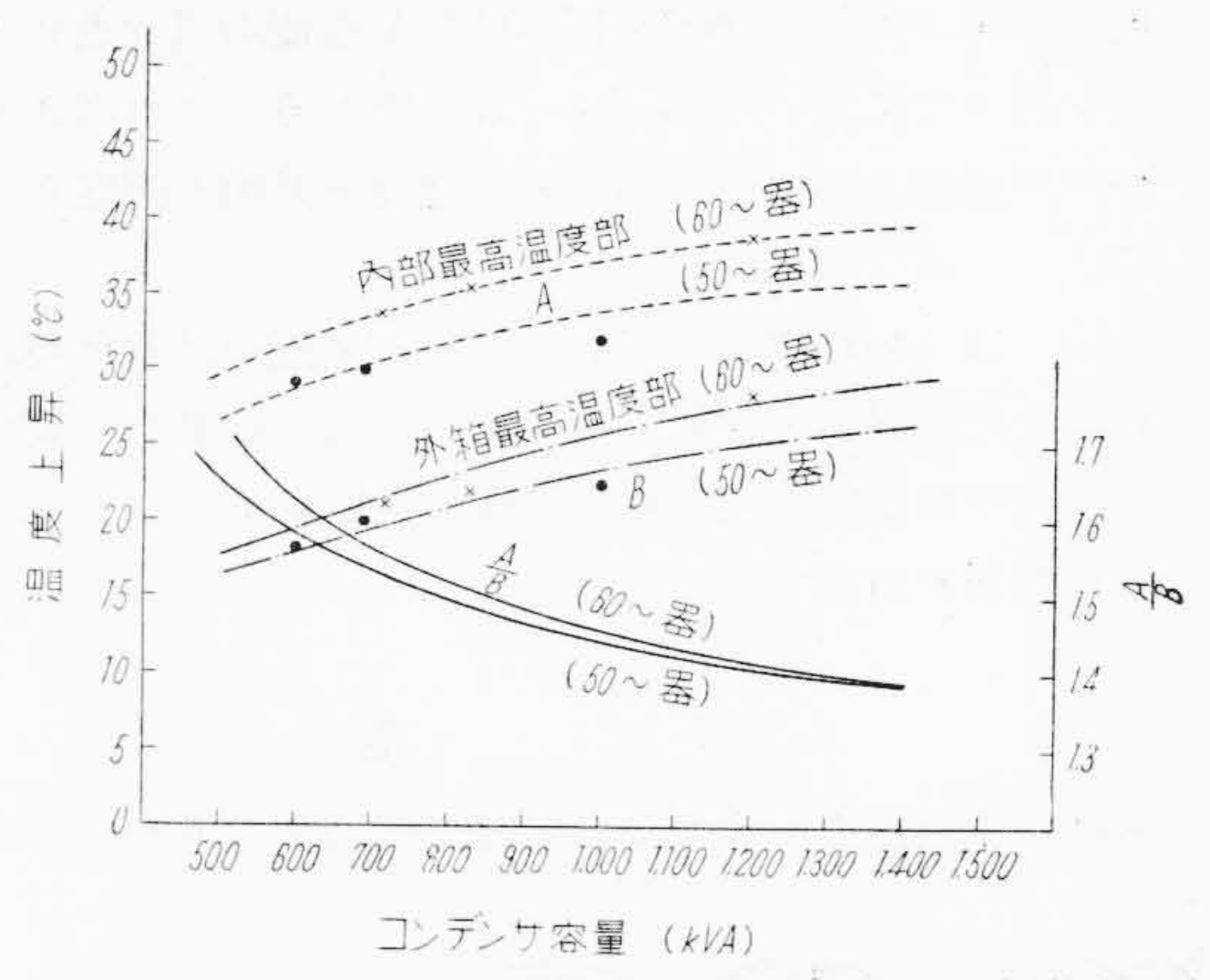
第9図 コンデンサの温度上昇曲線



第 10 図 コンデンサの発熱量および放熱量の 温度特性

の温度上昇を示すと 第9図 のとおりである。これらは 図に示した室温で測定した実測の温度上昇値であるが, コンデンサの温度上昇は誘電体の損失によるものであって,この損失は温度の函数であるから測定時の周囲温度 により温度上昇に僅差を生ずる。 第10 図は 1,200 kVA コンデンサの発熱量および放熱量の温度特性であって周囲温度が変ると温度上昇も変ってくる。これにより周囲温度 40° C の場合の各コンデンサの温度上昇値を算出すると第11 図のようになり,内部最高温度上昇値と外箱最高温度上昇値との比は $\frac{A}{B}$ に示す曲線となる。 すなわ ちこれからわかるように $600 \sim 1,200$ kVA の日立電力用 コンデンサの場合この値は大略 $1.4 \sim 1.6$ であることがわ かる。したがって外箱温度上昇値から内部最高温度上昇値を容易に推定することができる。

また一般に油入電気機器の油の温度上昇は熱放散率の



第11図 コンデンサ容量と温度上昇値の関係 (周囲温度 40°C))

函数であって次の関係式が成立つ。

$$\frac{T'}{T} = \left(\frac{\alpha'}{\alpha}\right)^K$$

ここに T, T': 油の温度上昇値

 α , α' : T, T' における熱放散率

$$\alpha = \frac{W_T}{S}$$

 W_T : 全 損 失

S: 冷却面積

実測結果によれば $600 \sim 1,200 \, \text{kVA}$ コンデンサの場合 K = 0.6 程度であるから、これを基礎として検討すると、現在程度の冷却構造で $1,400 \, \text{kVA}$ $60 \sim \text{においても外箱}$ 最高温度上昇は 29°C 程度であり、また素子最高温度上昇値は 40°C 程度であり周囲温度 40°C として $40 + 40 = 80^{\circ}\text{C}$ となり、A種絶縁物の最高許容温度 105°C に対し十分余裕のあることがわかる。

5. 結果の検討

以上の結果次のことが明らかとなった。

- (1) 現行の電気標準規格は 300 kVA 以下のコンデンサにおいて外箱温度上昇値を 25°C 以下と規定しているが 1,000 kVA 以上の大容量器となると発熱量の増大に比し冷却面積の増加の割合が減るので温度上昇は高くなり 25°C 以上となることもある。
- (2) コンデンサの寿命に影響するのは外箱の温度ではなくて内部の最高温度であるから、上記 25° C は単に一つの基準であってあくまで内部温度によって判断しなければならない。 $1,200~\rm kVA$ コンデンサの内部最高温度は周囲温度 40° C の場合でも 79° C であって A種絶縁物の最高許容温度 105° Cに比し十分余裕のあることがわかる。
- (3) コンデンサの内部最高温度上昇値と外箱最高温

度上昇値との比は 600~1,200 kVA 程度の日立進相用 コンデンサにおいては 1.4~1.6 である。これにより 外部の温度上昇値から内部最高温度上昇値を推定しう る。

(4) 以上の結果より判断すれば、最近の誘電体特性の向上と絶縁処理技術の進歩により損失が著しく減少したので単器容量 1,400~1,500 kVA 程度のコンデンサの製作が可能である。

6. 結 言

近時誘電材料の向上および絶縁処理技術の進歩により

コンデンサの特性が著しく向上しているが,今回 120 kVA コンデンサを製作し温度上昇値を検討した結果 1,400~1,500 kVA でも最高内部温度が80℃程度のコンデンサの製作が可能であることがわかった。

今後変電所床面積の縮少および電気機器製作費の低減 の点で大容量器の採用は必至であり、大容量変電所のみ ならず中小容量変電所用としても大いに特長を発揮する ものと考えられるので、今後の変電所設計上の一助とし て読者諸賢の御参考に供する次第である。

参考文献

(1) 村山: 日立評論 35, 401 (昭 28-2)

特許を新案



最近登録された日立製作所の特許および実用新案

(その3)

区别	登録番号	名	工場別	氏 名	登録年月日
実用新案	482866 482877	配電盤配線止め装置電力フェーズ	国分工場国分工場	星 野 選内 儀 忠 恕矢 代 一	33. 10. 8
"	482881	転送引外し式表示線保護継電装置	国分工場	茂 木 朝 雄 中 山 敬 造	22 10 0
"	482547	タンク車の波除板	笠戸工場	中山敬造中村正治	33. 10. 8 33. 10. 1
"	482548	タンク車波除板	笠戸工場	中村正治	33. 10. 1
"	482554	嵌込式窓を組合せた展望兼用窓	笠戸工場	藤岡多喜男	",
"	482561	カーブドコンベヤフレーム	亀有工場	渋 谷 英 寅 小 林 喜八郎	33. 10. 1
"	482860	液圧制水弁の液圧操作装置	亀有工場	近藤澄雄	33. 10. 8
11	482861	液圧制水弁の緩衝装置	亀有工場	野 村 茂	"
"	482862	急速動緩速動の2段動作を行うピストン装 置	亀 有 工 場	木 暮 健三郎山 内 章 正	"
"	482871	スキップカー積込用ホッパーフード	亀 有 工 場	田中春雄早川 清	33.10. 8
"	482552	ピストン油上り防止装置	川崎工場	桑 原 敏 章 石 田 光 男	33. 10. 1
"	482573	冷 凍 装 置	川崎工場	芹 野 英 雄	33. 10. 1
"	482864	空気圧縮機における給油装置	川崎工場	大 谷 巌	33. 10. 8
"	482869	冷却用ジャケットを設けた粉体出入口を有 する空気輸送装置	川崎工場	西 岡 富士夫	"
"	482870	ロータリバルブ	川崎工場	多々良 恒 三	"
"	482872	二重フラップ弁式粉粒体取出装置	川崎工場	西 岡 富士夫 長 田 宏	33. 10. 8
"	482549	速度選択装置付電子顕微鏡	多賀工場	渡 辺 宏	33. 10. 1
"	482550	平 衡 形 電 気 計 器	多賀工場	島田 河井陽一 渋川秀夫	.0.
"	482553	PH 4 - 9 -	多賀工場	吉 田 霞	"
"	482562	真空掃除機用吸込ノズル	多賀工場	大 屋 三 郎	"
11	482564	減速機の給油装置	多賀工場	林五郎田沢阜益子三	- 1/2
"	482565	竪 形 真 空 掃 除 機	多賀工場	安川昌平	"
"	482571	継 電 器	多賀工場	渡井三夫	"
"	482585	チョーク弁絞弁連動装置	多賀工場	大藤満雄	"
実用新案	482586	始動電動機用フートスイッチ	多賀工場	大内和心	33. 10. 1

(第35頁へ続く)